

# Masse e Oscillazioni dei Neutrini Lezione I

Corso di Fisica Nucleare e Subnucleare III

Lucio Ludovici 25 novembre 2008

# Referenze

## Libri

### **Physics of Neutrinos and Application to Astrophysics**

M.Fukugita, T.Yanagida - Ed. Springer Verlag (2003)

### **Neutrino Physics**

K.Zuber - Ed. IOP publishing (2004)

### **Massive Neutrinos in Physics and Astrophysics**

R.N. Mohapatra, B.Pal Palash - 3<sup>rd</sup> edition, World Scientific Lecture Notes in Physics, vol. 71

## Articoli

### **Neutrino mass, mixing, and flavor change** (B.Kayser, 2005)

<http://pdg.lbl.gov/2008/reviews/numixrpp.pdf>

### **Understanding Two-Flavor Oscillation Parameters and Limits** (D.E.Groom, 2002)

[http://pdg.lbl.gov/2005/reviews/twonu\\_explain\\_s805.pdf](http://pdg.lbl.gov/2005/reviews/twonu_explain_s805.pdf)

Reperibili online dal PDG “Review of Particle Physics” <http://pdg.lbl.gov>

lucio.ludovici@roma1.infn.it VEF piano I, Stanza 103-b

# Orari

Martedì 25 novembre	14-16	Aula Majorana
Giovedì 27 novembre	14-16	Aula Tuschek
Venerdì 28 novembre	12-14	Aula Conversi
Martedì 2 dicembre	14-16	Aula Majorana

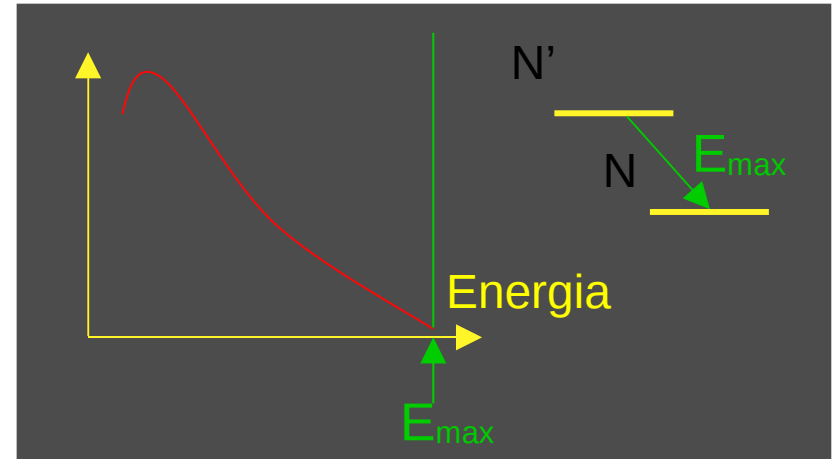
# Programma

1. Richiami sull'equazione di Dirac, proiezioni chirali, equazione di Weyl.
2. Chiralità ed elicità. Neutrini di Majorana. Decadimento doppio  $\beta$ .
3. Massa di Dirac e di Majorana. Meccanismo dell'altalena (see-saw).
4. Matrice di mescolamento per tre famiglie. Fasi di Dirac e di Majorana. Oscillazioni nel vuoto per tre famiglie. Violazione di CP.
5. Caso limite di due famiglie. Formule approssimate: one mass dominance. Interpretazione del plot  $\Delta m^2$  vs  $\sin^2 2\theta$ . Valore sperimentale dei parametri della matrice di mixing.
6. Oscillazioni nella materia, meccanismo MSW.
7. Le oscillazioni dei neutrini atmosferici: Super-Kamiokande. K2K. Le oscillazioni dei neutrini solari.

# Dear Radioactive Ladies and Gentlemen,...



Problema: spettro continuo dell'elettrone nei decadimenti  $\beta$



Nel 1930 Wolfgang Pauli ipotizza una nuova particella sconosciuta, di spin  $\frac{1}{2}$ , neutra, di massa nulla o molto più piccola dell'elettrone, che interagisce solo debolmente.

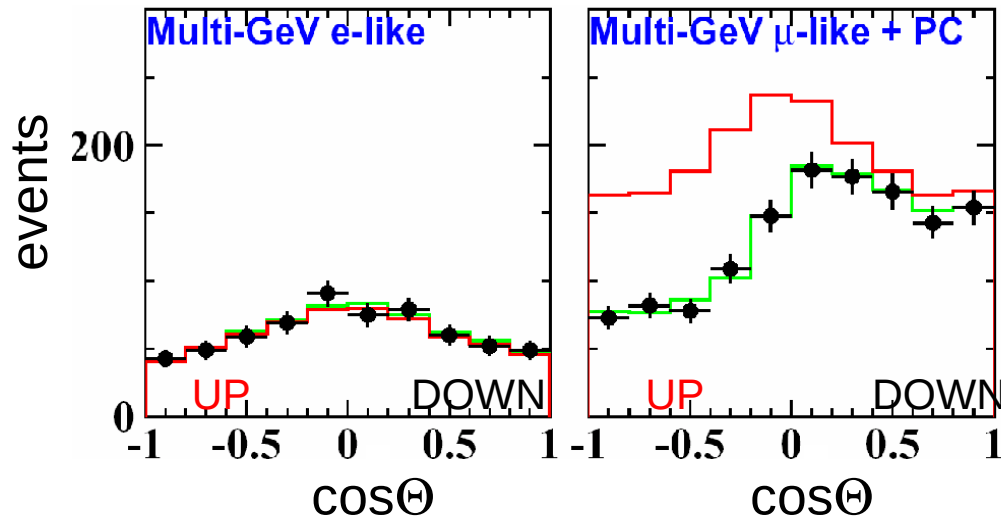
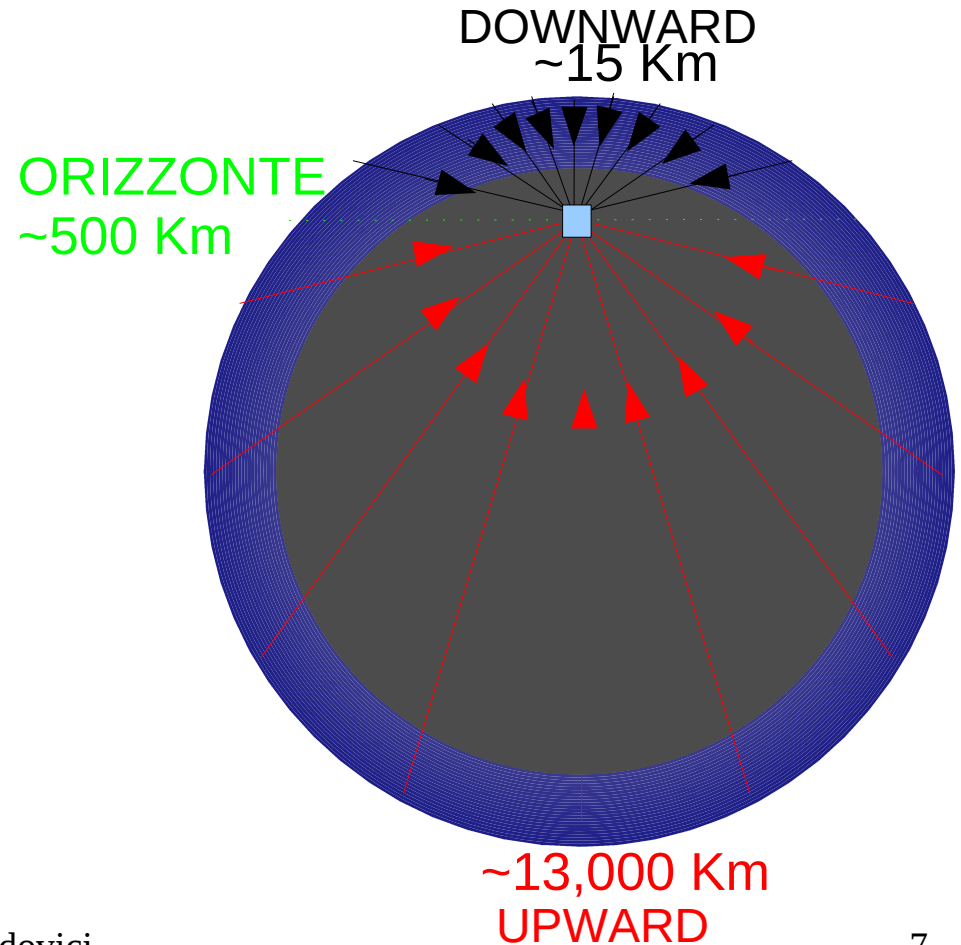
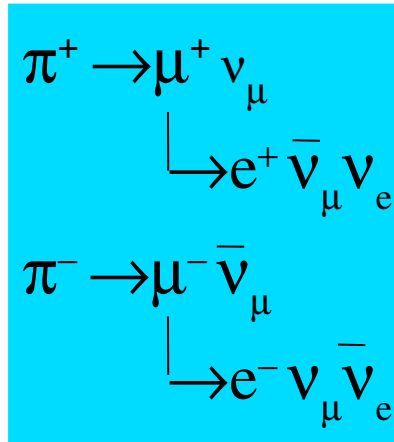
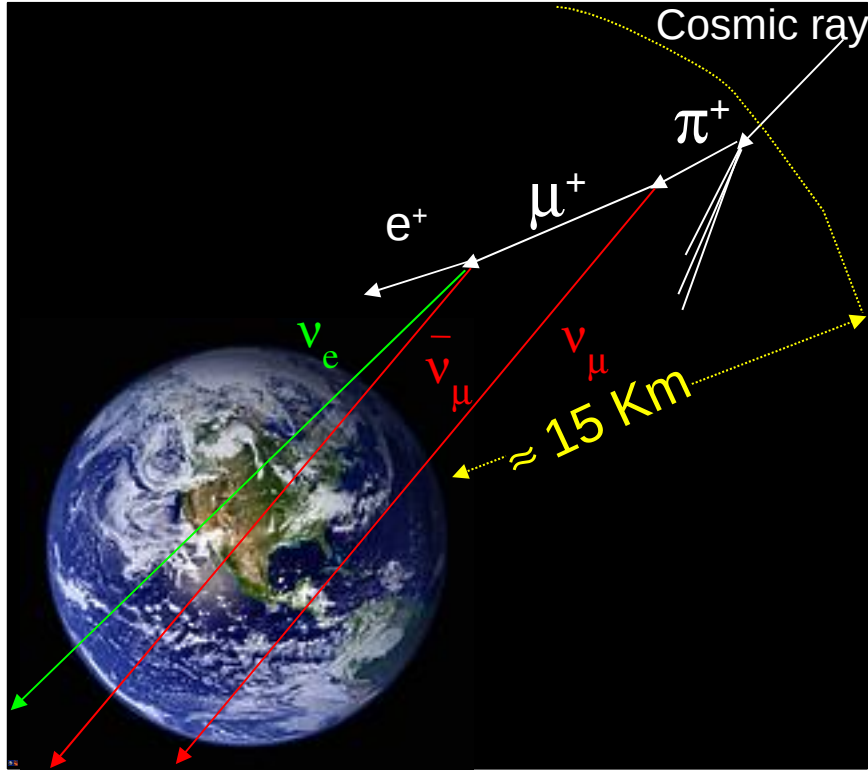
“I have to replace something we do not understand with something else we cannot observe.”

“[...] there is no practically possible way of observing the neutrino”  
H.Bethe, R.Peierls, Nature (1934)

# Il neutrino: quasi ottantanni (portati bene)

1930	$\nu$ existence postulated	Pauli
1934	$\nu$ name and interaction theory	Fermi
1938	Solar $\nu$ flux calculation	Bethe
1946	Idea of $\nu$ chlorine detector	Pontecorvo
1956	$\bar{\nu}$ interactions observed	Reines & Cowan
1957	Idea of $\nu$ oscillation	Pontecorvo
1958	Left-handed $\nu$	Goldhaber
1962	2 $\nu$ 's, $\nu_{\mu}$ , $\nu_e$	Lederman, Schwartz & Steinberger
1968	Solar neutrino deficit	Davis
1973	$\nu$ NC interactions observed	Gargamelle
1975	$\tau$ and the third $\nu$	Perl
1986	Solar deficit again, atmospheric(?)	Kamiokande
1987	$\bar{\nu}$ from SN1987A	Kamiokande, IMB
1989	3 light neutrino families	LEP Collaborations
1991	Still solar deficit	Gallex, SAGE
1998	Atmospheric $\nu$ oscillation	Super-Kamiokande
2002	Solar $\nu$ confirmed at reactor	SNO, KamLand
2004	Atmosph. $\nu$ confirmed at accelerator	K2K

# Neutrini atmosferici



# OSCILLAZIONI DEI NEUTRINI



$$M_\nu \neq 0$$

autostati di sapore  $\neq$  autostati di massa

$$\nu_{\alpha L} = \sum_{k=1,3} U_{\alpha k} \nu_{k L} \quad \alpha = e, \mu, \tau$$

matrice di mescolamento

Correnti EW:

$$J_\mu^{NC} = 2 \sum_{\alpha=e,\mu,\tau} \bar{\nu}_{\alpha L} \gamma_\mu \nu_{\alpha L} = 2 \sum_{k=1,3} \bar{\nu}_{k L} \gamma_\mu \nu_{k L}$$

$$J_\mu^{CC} = 2 \sum_{\alpha=e,\mu,\tau} \bar{l}_{\alpha L} \gamma_\mu \nu_{\alpha L} = 2 \sum_{\alpha=e,\mu,\tau} \sum_{k=1,3} \bar{l}_{\alpha L} \gamma_\mu U_{\alpha k} \nu_{k L}$$

Le correnti neutre (NC) sono diagonali rispetto alla matrice di mescolamento che compare nelle correnti cariche (CC).



# L'equazione di Dirac

Equazione relativistica per particelle di spin 1/2 (fermioni)

$$(i \not{\partial} - m)\psi = 0 \longleftrightarrow \mathcal{L} = \bar{\psi}(i \not{\partial} - m)\psi$$

$$\not{\partial} = \gamma^\mu \frac{\partial}{\partial x^\mu} \quad \bar{\psi} = \psi^\dagger \gamma^0$$

spinore a 4 componenti  $\psi$

4 matrici di Dirac 4x4  $\gamma^0, \gamma^1, \gamma^2, \gamma^3$

Proprietà di commutazione delle matrici di Dirac

$$\begin{aligned} \{\gamma^\alpha, \gamma^\beta\} = 2g^{\alpha\beta} &\longleftrightarrow \gamma^0 \gamma^{\mu\dagger} \gamma^0 = \gamma^\mu \longleftrightarrow \gamma^0 \gamma^{\mu*} \gamma^0 = \gamma^{\mu T} \longleftrightarrow \begin{cases} \gamma^{0\dagger} = +\gamma^0 \\ \gamma^{1\dagger} = -\gamma^1 \\ \gamma^{2\dagger} = -\gamma^2 \\ \gamma^{3\dagger} = -\gamma^3 \end{cases} \\ \gamma^5 = i\gamma^0\gamma^1\gamma^2\gamma^3 &\quad \{\gamma^5, \gamma^\alpha\} = 0 \quad \gamma^{5^2} = 1 \quad \gamma^{5T} = \gamma^5 \end{aligned}$$

Rappresentazioni delle matrici di Dirac

	$\gamma^0$	$\gamma^i, i = 1, 2, 3$	$\gamma^5$
Rappresentazione di Dirac-Pauli	$\begin{pmatrix} 1 & 0 \\ 0 & -1 \end{pmatrix}$	$\begin{pmatrix} 0 & \sigma_i \\ -\sigma_i & 0 \end{pmatrix}$	$\begin{pmatrix} 0 & 1 \\ 1 & 0 \end{pmatrix}$
Rappresentazione di Weyl	$\begin{pmatrix} 0 & -1 \\ -1 & 0 \end{pmatrix}$	$\begin{pmatrix} 0 & \sigma_i \\ -\sigma_i & 0 \end{pmatrix}$	$\begin{pmatrix} 1 & 0 \\ 0 & -1 \end{pmatrix}$

Matrici di Pauli

$$\sigma_1 = \begin{pmatrix} 0 & 1 \\ 1 & 0 \end{pmatrix}$$

$$\sigma_2 = \begin{pmatrix} 0 & -i \\ i & 0 \end{pmatrix}$$

$$\sigma_3 = \begin{pmatrix} 1 & 0 \\ 0 & -1 \end{pmatrix}$$

$$\sigma_i \sigma_j = i\epsilon_{ijk} \sigma_k + \delta_{ij}$$

# Chiralità

## Operatori di proiezione chirale Left/Right

$$\mathbb{P}_L = \frac{1}{2}(1 - \gamma^5)$$

$$\mathbb{P}_R = \frac{1}{2}(1 + \gamma^5)$$

Definizione

$$\mathbb{P}_L + \mathbb{P}_R = 1$$

$$\mathbb{P}_L \mathbb{P}_R = \mathbb{P}_R \mathbb{P}_L = 0 \longleftarrow (1 \pm \gamma^5)(1 \mp \gamma^5) = 0$$

$$\mathbb{P}_{L,R}^2 = \mathbb{P}_{L,R} \longleftarrow (1 \pm \gamma^5)(1 \pm \gamma^5) = 2(1 \pm \gamma^5)$$

Proprietà

$$\gamma^{5^2} = 1$$

## Proiezioni chirali dei campi

$$\begin{cases} \psi_L = \mathbb{P}_L \psi \\ \psi_R = \mathbb{P}_R \psi \end{cases}$$

$$\begin{cases} \mathbb{P}_L \psi_L = \psi_L, & \mathbb{P}_R \psi_L = 0 \\ \mathbb{P}_R \psi_R = \psi_R, & \mathbb{P}_L \psi_R = 0 \end{cases}$$

$$\mathbb{P}_R + \mathbb{P}_L = 1$$

$$\begin{cases} \gamma^5 \psi_L = - \psi_L \\ \gamma^5 \psi_R = + \psi_R \end{cases}$$

$$\psi = \psi_R + \psi_L$$

CHIRALITA'

# Chiralità e massa

Moltiplicando l'eq. di Dirac per  $\gamma^0$  e  $\gamma^0\gamma^5$

$$\begin{aligned} \gamma^0 \times (i\gamma^0\partial_0 - i\gamma^0\gamma^5\sigma_i\partial_i - m)\psi &= (i\partial_0 - i\gamma^5\sigma_i\partial_i - m\gamma^0)\psi = 0 \\ \gamma^5\gamma^0 \times (i\gamma^0\partial_0 - i\gamma^0\gamma^5\sigma_i\partial_i - m)\psi &= (i\gamma^5\partial_0 - i\sigma_i\partial_i - m\gamma^5\gamma^0)\psi = 0 \end{aligned}$$

$$\gamma^i = \gamma^0\gamma^5\sigma_i$$

sommando e sottraendo

$$\begin{cases} (i\partial_0(1 + \gamma^5) - i\sigma_i\partial_i(1 + \gamma^5) - m\gamma^0(1 - \gamma^5))\psi = 0 \\ (i\partial_0(1 - \gamma^5) + i\sigma_i\partial_i(1 - \gamma^5) - m\gamma^0(1 + \gamma^5))\psi = 0 \end{cases} \quad \begin{cases} (i\partial_0 - i\sigma_i\partial_i)\psi_R = m\gamma^0\psi_L \\ (i\partial_0 + i\sigma_i\partial_i)\psi_L = m\gamma^0\psi_R \end{cases}$$

equazioni disaccoppiate per  $m=0$  (eq. di Weyl)

$$(i \not{\partial} - m)\psi = 0 \xrightarrow{m=0} \not{\partial}\psi = 0 \longrightarrow \frac{\partial}{\partial t}\psi_{L,R} = \mp\sigma_i \frac{\partial}{\partial x_i}\psi_{L,R}$$

Spinori di Weyl: 2 soluzioni a 2 componenti

Le proiezioni chirali  $\psi_L, \psi_R$  sono soluzioni dell'eq. di Weyl

# Elicità (da non confondere con la chiralità !)

Per fermioni di massa nulla, l'eq. di Weyl nello spazio dei momenti:

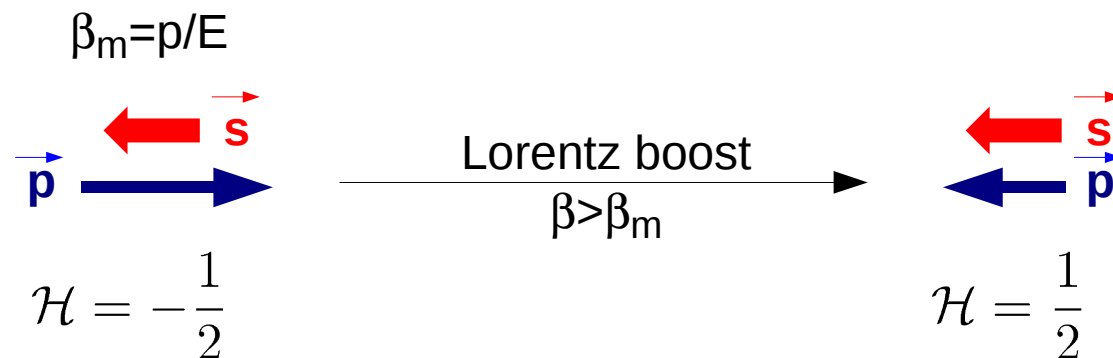
$$i \frac{\partial}{\partial t} \psi_{L,R} = \mp \sigma_i \frac{\partial}{\partial x_i} \psi_{L,R} \xrightarrow{(E, \vec{p}) = (i\partial_t, -i\vec{\nabla})} E \psi_{L,R} = \pm (\vec{\sigma} \times \vec{p}) \psi_{L,R}$$

Elicità → proiezione dello spin nella direzione di volo:  $\mathcal{H} = \frac{\vec{\sigma} \times \vec{p}}{|\vec{p}|}$

Elicità → numero quantico conservato:  $[\mathcal{H}, \mathbb{H}]$

Nel limite  $m=0$  le proiezioni chirali  $\psi_{L,R}$  sono anche autostati dell'elicità

In generale, per  $m \neq 0$ , l'elicità non è un invariante di Lorentz



CHIRALITA'

≠

ELICITA'

Invariante di Lorentz  
Non conservata

Numero quantico conservato  
Non Lorentz invariante

Coincidono (le proiezioni chirali sono anche autostati dell'elicità)  
per fermioni di massa nulla

$$\chi = \mathcal{H} + o\left(\frac{m}{E}\right)$$

# Chiralità ed Elicità

Elicità  $\equiv$  Chiralità nel limite  $m=0$       $\chi = \mathcal{H} + o(m/E)$

Nel MS solo campi di chiralità  $h=-1$  (left-handed) si accoppiano a Z,W

$$\text{SU}(2)_L \text{U}(1) \longrightarrow \blacktriangleright J^\mu = \bar{l}_L \gamma^\mu l_L$$

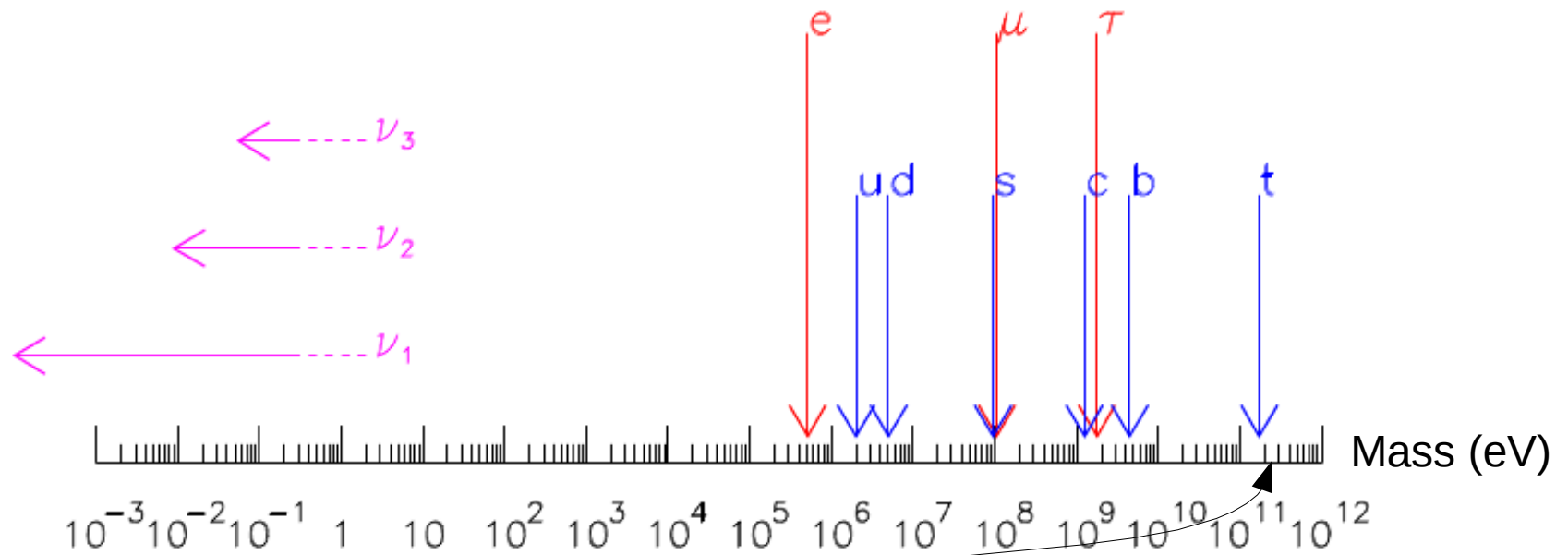
I campi right-handed (RH) sono singoletti di  $\text{SU}(2)_L$

Componenti di elicità “sbagliata” dei neutrini sono sopresse  $o(m/E)$

Nel MS (minimale):

i neutrini hanno massa nulla  
non esistono neutrini right-handed  
chiralità ed elicità dei neutrini coincidono

# Masse dei fermioni



Scala della rottura di simmetria  $SU(2) \times U(1)$

$$\langle \Phi^0 \rangle = v / \sqrt{2}$$

$$v = (\sqrt{2}G_F)^{-1/2} = 246 \text{ GeV}$$

# Massa di Dirac

Come per i fermioni carichi per un neutrino massivo si può scrivere

$$\bar{\nu}_R \nu_R = \bar{\nu}_L \nu_L = 0$$

$$\nu_R = \frac{(1+\gamma^5)}{2} \nu$$

$$\bar{\nu}_R = \left[ \frac{(1+\gamma^5)}{2} \nu \right]^\dagger \gamma^0$$

$$= \nu^\dagger \frac{(1+\gamma^5)}{2} \gamma^0$$

$$= \nu^\dagger \gamma^0 \frac{(1-\gamma^5)}{2}$$

$$\mathcal{L}^D = -m_D (\bar{\nu} \nu)$$

$$= -m_D (\bar{\nu}_L + \bar{\nu}_R) (\nu_L + \nu_R)$$

$$\rightarrow = -m_D (\bar{\nu}_L \nu_R + \bar{\nu}_R \nu_L) = -m_D \bar{\nu}_L \nu_R + \text{h.c.}$$

Un termine di massa di Dirac per i neutrini richiede l'esistenza di un neutrino RH

$$\nu_R, \bar{\nu}_R$$

neutro, singoletto di isospin debole → neutrino “sterile”, interagisce solo con la gravità

se non sono presenti neutrini RH (come nel MS minimale) i neutrini non possono avere massa di Dirac



# Masse dei fermioni: tanti parametri liberi

Termini di massa non invariante sotto  $SU(2)_L \rightarrow$  meccanismo di Higgs, rottura spontanea di simmetria (SSB)

SSB salva la struttura di gauge del MS ma non “spiega” le masse

$$\mathcal{L}^{\text{Yukawa}} = -f_e \overline{(\nu_e, e)}_L \begin{pmatrix} \Phi^+ \\ \Phi^0 \end{pmatrix} e_R - f_{\nu_e} \overline{(\nu_e, e)}_L \begin{pmatrix} \Phi^{0*} \\ \Phi^- \end{pmatrix} \nu_R \\ -f_d \overline{(u, d)}_L \begin{pmatrix} \Phi^+ \\ \Phi^0 \end{pmatrix} d_R - f_u \overline{(u, d)}_L \begin{pmatrix} \Phi^{0*} \\ \Phi^- \end{pmatrix} u_R + \text{h.c.}$$

$$\text{SSB} \longrightarrow m_i = f_i \langle \Phi^0 \rangle = f_i v / \sqrt{2} \longrightarrow \begin{matrix} f_{\text{top}} \simeq 1 \\ f_\nu \lesssim 6 \cdot 10^{-12} \end{matrix}$$

SSB non spiega perché  $m_\nu$  siano così piccole rispetto alla scala EW  
E' un problema? (In fondo SSB non “spiega” neanche le masse dei fermioni carichi)

# Neutrino di Majorana

Un fermione massivo neutro può essere descritto da uno spinore con due sole componenti reali che soddisfano la condizione

$$\psi \equiv \psi^C$$

Coniugazione di carica  $C$

particella  $\equiv$  propria anti-particella

E. Majorana

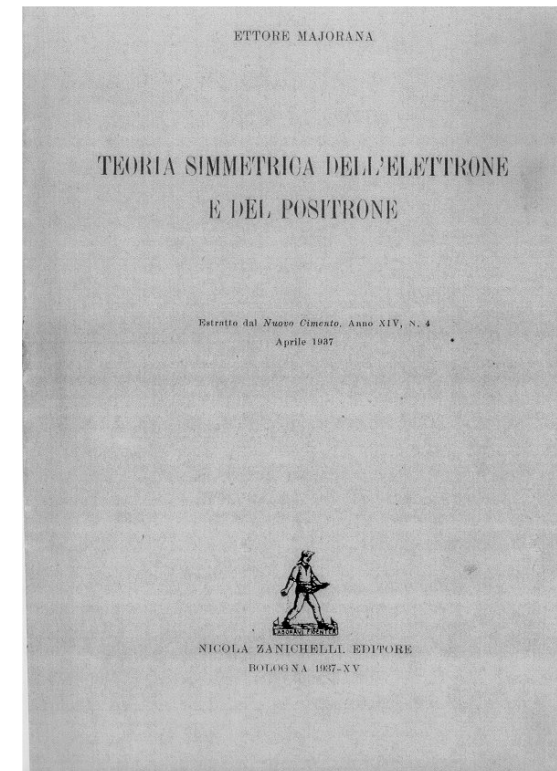
Nuovo Cimento 14 (1937) 171

$$\begin{aligned}\psi^C &= C\bar{\psi}^T \\ &= C(\psi^\dagger \gamma^0)^T = C\gamma^0 \psi^* = C\gamma^0 \psi^*\end{aligned}$$

$$C\gamma^\mu{}^T C^{-1} = -\gamma^\mu \quad C^\dagger = C^{-1} \quad C^T = -C$$

$$\rightarrow C = i\gamma^2\gamma^0 \quad [C, \gamma^5] = 0$$

Proprietà della coniugazione di carica



# Dimostriamo qualche proprietà di C

Equazione di Dirac con campo e.m. per fermione e anti-fermione

$$(i \not{\partial} - e \not{A} - m)\psi = 0$$

fermione carica -e

$\psi \equiv \psi^C$  impossibile  
per fermioni carichi

$$(i \not{\partial} + e \not{A} - m)\psi^C = 0$$

anti-fermione carica +e

$$[\dots]^* \rightarrow [(i\partial_\mu - eA_\mu)\gamma^\mu - m]^* \psi^* = 0$$

$$[(i\partial_\mu + eA_\mu)\gamma^{\mu*} + m]\psi^* = 0$$

$$\psi^C = C\gamma^0\psi^*$$

$$[(i\partial_\mu + eA_\mu)\gamma^{\mu*}(C\gamma^0)^{-1} + m(C\gamma^0)^{-1}]\psi^C = 0$$

verifica l'equazione per  $\psi^C$  se:  $(C\gamma^0)\gamma^{\mu*}(C\gamma^0)^{-1} = -\gamma^\mu$

$$C\gamma^{\mu T}C^{-1} = -\gamma^\mu$$

$\gamma^0\gamma^{\mu*}\gamma^0 = \gamma^{\mu T}$

poiché  $\gamma^{\mu T} = (-1)^\mu \gamma^\mu$  C (anti)commuta con  $(\gamma^0, \gamma^2)\gamma^1, \gamma^3$

$$\rightarrow [C, \gamma^5] = 0$$

$$\rightarrow C = i\gamma^2\gamma^0$$

# Chiralità e neutrino di Majorana

Il coniugato  $(\psi_R)^C \equiv \psi_R^C$  di un campo RH è un campo LH:

$$\frac{(1 \pm \gamma^5)}{2} \psi_R^C = \frac{(1 \pm \gamma^5)}{2} \mathcal{C} \bar{\psi}_R^T = \mathcal{C} \left[ \frac{(1 \pm \gamma^5)}{2} \bar{\psi}_R^T \right] = \mathcal{C} \left[ \bar{\psi}_R \frac{(1 \pm \gamma^5)}{2} \right]^T = \begin{cases} 0 \\ \psi_R^C \end{cases}$$

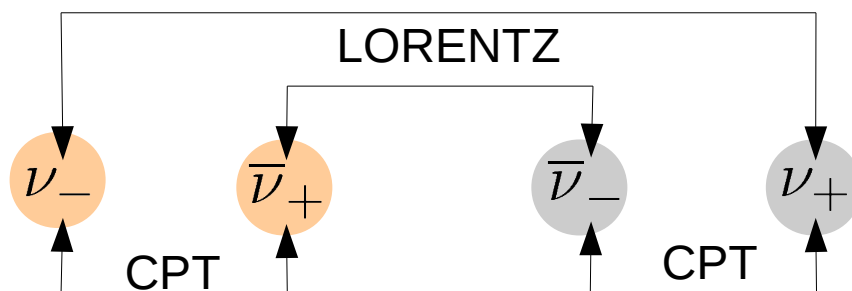
$$\bar{\psi}_R = \left[ \frac{(1 + \gamma^5)}{2} \psi \right]^\dagger \gamma^0 = \psi^\dagger \frac{(1 + \gamma^5)}{2} \gamma^0 = \bar{\psi} \frac{(1 - \gamma^5)}{2}$$

Applicando i proiettori chirali alla condizione di Majorana:

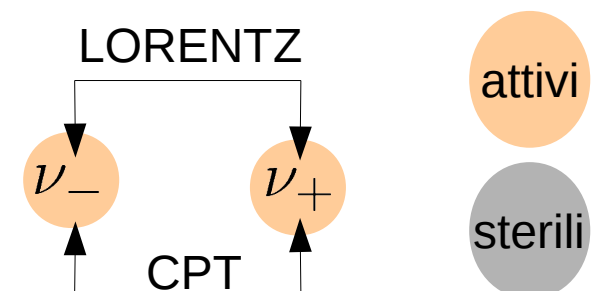
$$\psi \equiv \psi^C \longrightarrow \psi_L + \psi_R \equiv \psi_L^C + \psi_R^C \xrightarrow{\mathbb{P}_{R,L}} \begin{cases} \psi_R = \psi_L^C \\ \psi_L = \psi_R^C \end{cases}$$

La condizione di Majorana riduce a 2 le 4 componenti indipendenti dello spinore di un fermione massivo

$$\psi^M = \psi_L + \psi_L^C$$

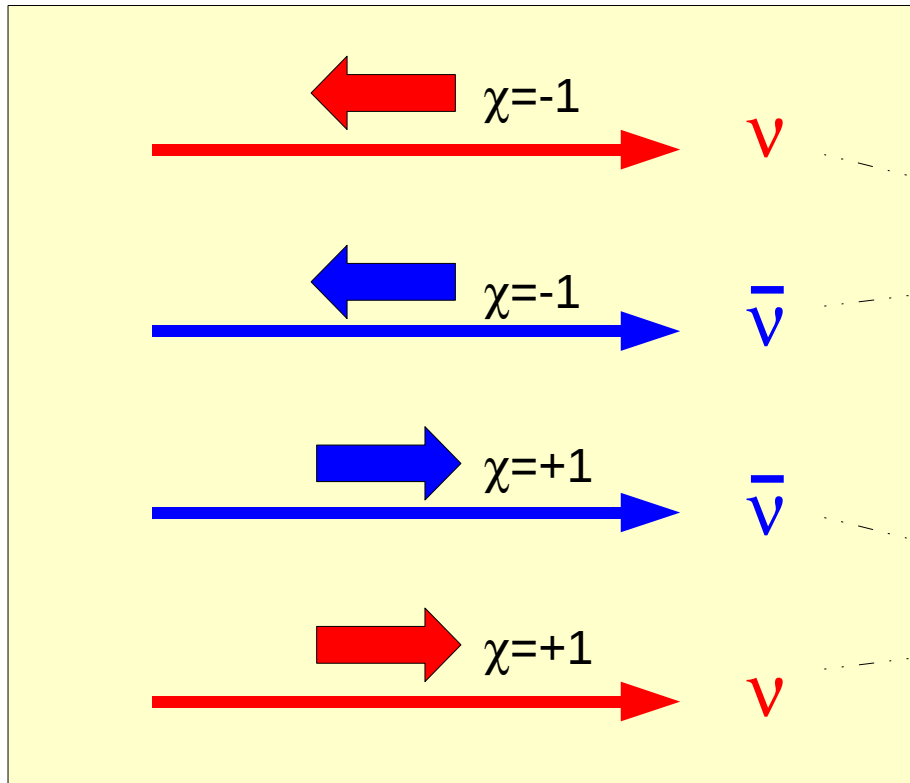


Stati di un neutrino di Dirac



Stati di un neutrino di Majorana

# Neutrini di Dirac e Majorana



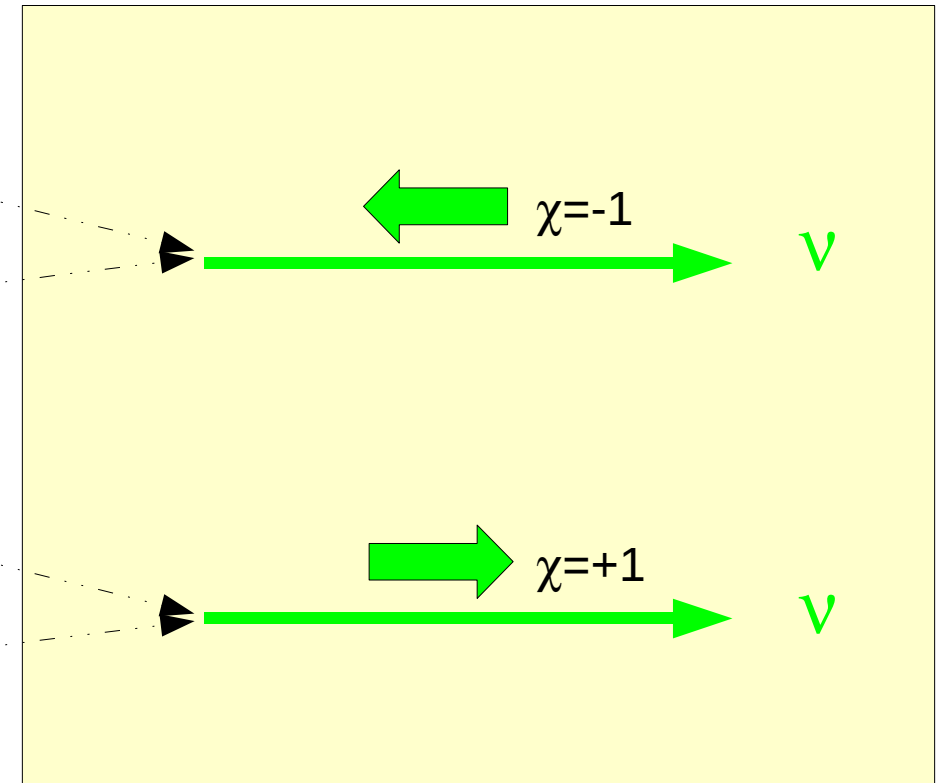
4 stati indipendenti

=

un **neutrino** di Dirac

+

il corrispondente **antineutrino**



2 stati indipendenti

=

un **neutrino** di Majorana

$\equiv$

il proprio **antineutrino**

# Dirac e Majorana sotto C,P,T

## ➤ Parità P

$$t \rightarrow t \quad \vec{x} \rightarrow -\vec{x}$$

$$\vec{p} \rightarrow -\vec{p} \quad \nu(\vec{p}, h) \rightarrow \nu(-\vec{p}, -h)$$

$$\vec{s} \rightarrow \vec{s}$$

$$h \rightarrow -h$$

$$\vec{x} \wedge \vec{p} \rightarrow \vec{x} \wedge \vec{p}$$

$$\frac{\vec{s} \cdot \vec{p}}{|\vec{p}|} \rightarrow -\frac{\vec{s} \cdot \vec{p}}{|\vec{p}|}$$

## ➤ Time reversal T

$$t \rightarrow -t \quad \vec{x} \rightarrow \vec{x}$$

$$\vec{p} \rightarrow -\vec{p} \quad \nu(\vec{p}, h) \rightarrow \nu(-\vec{p}, h)$$

$$\vec{s} \rightarrow -\vec{s}$$

$$h \rightarrow h$$

## ➤ PT

$$t \rightarrow -t \quad \vec{x} \rightarrow -\vec{x}$$

$$\vec{p} \rightarrow \vec{p} \quad \nu(\vec{p}, h) \rightarrow \nu(\vec{p}, -h)$$

$$\vec{s} \rightarrow -\vec{s}$$

$$h \rightarrow -h$$

## ➤ CPT

$$t \rightarrow -t \quad \vec{x} \rightarrow -\vec{x}$$

$$\vec{p} \rightarrow \vec{p} \quad \nu(\vec{p}, h) \rightarrow \bar{\nu}(\vec{p}, -h) \quad \text{Dirac}$$

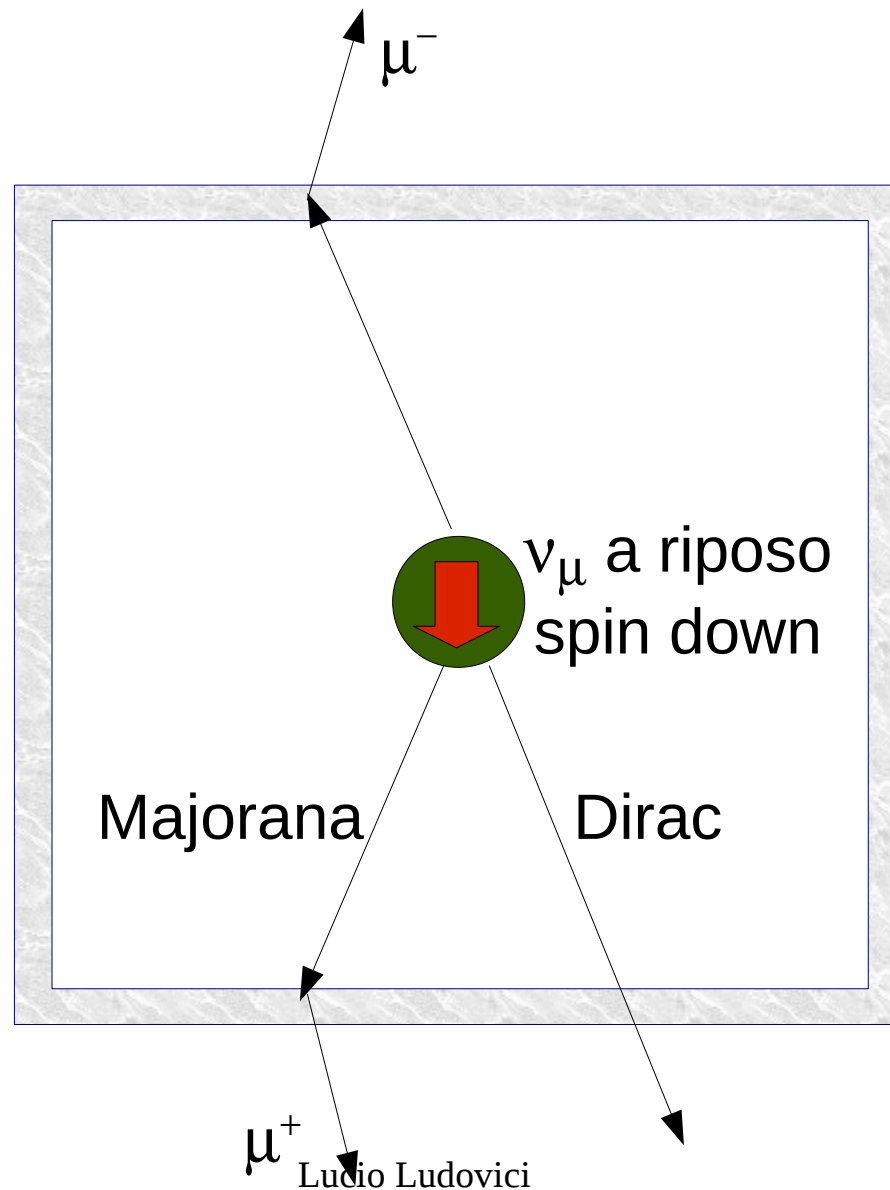
$$\vec{s} \rightarrow -\vec{s}$$

$$\nu(\vec{p}, h) \rightarrow \nu(\vec{p}, -h) \quad \text{Majorana}$$

$$h \rightarrow -h$$

# Dirac vs Majorana (GedankenExperiment)

Si prenda un neutrino massivo a riposo, con spin giù, fermo al centro di una scatola. Si metta la scatola in movimento prima verso il basso... e poi verso l'alto



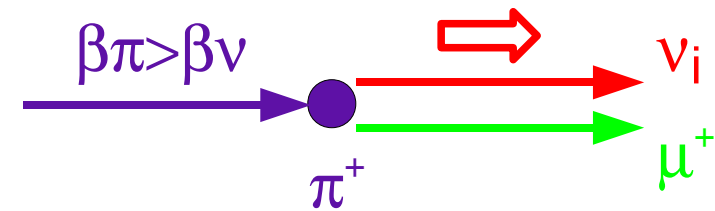
# Un esperimento Majorana vs Dirac (che non funziona)

Dobbiamo verificare se  $\bar{\nu}(h) \equiv \nu(h)$

Cioè verificare se un neutrino (quello prodotto insieme a un  $\mu^+$ ), di elicità positiva produce un  $\mu^+$  in una interazione di corrente carica (esattamente come il neutrino prodotto insieme a un  $\mu^-$ ) oppure se non interagisce.



Per ribaltare l'elicità "basta" accelerare  $\beta_\pi > \beta_\nu$



$$\gamma_\pi = \frac{E_\pi(LAB)}{m_\pi} > \frac{E_\nu(\pi \text{ rest frame})}{m_\nu} \approx \frac{30 \cdot 10^6}{0.05} = 6 \cdot 10^8 \longrightarrow E_\pi(LAB) > 10^5 \text{ TeV}$$

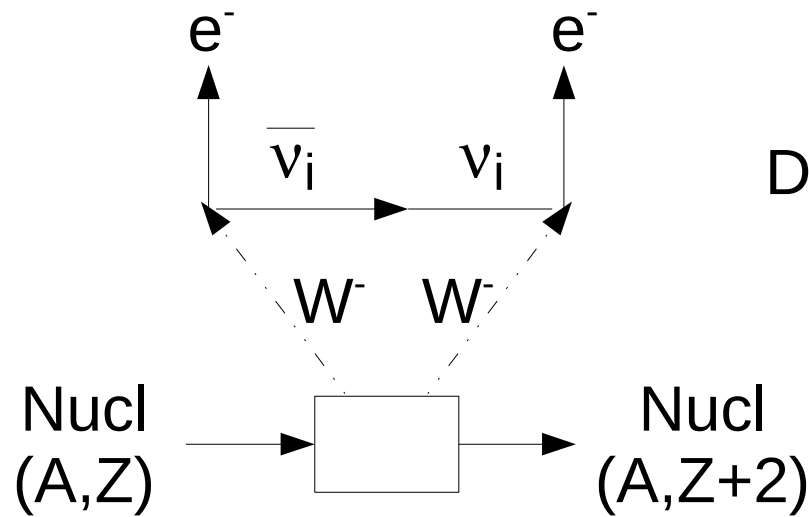
Inoltre la frazione di decadimenti con neutrini utili (di elicità ribaltata) è

$$\Omega \approx \left[ \frac{m_\nu}{E_\nu(\pi \text{ rest frame})} \right]^2 \approx 10^{-18}$$

La natura V-A delle correnti complica gli esperimenti Dirac vs Majorana



# Il decadimento $0\nu\beta\beta$ (un esperimento che può funzionare)



Doppio decadimento  $\beta$  senza neutrini

$\nu$  creato insieme a un  $e^-$  da una corrente LH  $\rightarrow \chi=1$  (“anti-neutrino”)  
 $\nu$  assorbito con creazione di un  $e^-$  da una corrente LH  $\rightarrow \chi=-1$  (“neutrino”)

Contribuiscono solo le componenti di elicità sopresse  $o(m/E)$ :

$$\text{Amp}(0\nu\beta\beta) \propto \left| \sum_i m_i U_{ei}^2 \right|$$

Violazione della conservazione del numero leptonico L